

Rappel de codage canal, critères de décodage

C. Poulliat

19 novembre 2020

Plan

- 1 Rappel sur le codage de canal
 - Quelques définitions
- 2 Notion de décodage souple et utilisation de LLR
 - Décodage souple
- 3 Modulations codées à bits entrelacés

Plan

- 1 Rappel sur le codage de canal
 - Quelques définitions
- 2 Notion de décodage souple et utilisation de LLR
 - Décodage souple
- 3 Modulations codées à bits entrelacés

Codes en bloc linéaires

Quelques définitions

On considère des codes définis sur le corps binaire $\mathbb{F}_2 = GF(2)$.

Codes linéaires en blocs

- Un code en blocs binaire $\mathcal{C}(N, K)$ de longueur N est une application $g(.)$ de l'ensemble $\mathbb{F}_2^K = \{0, 1\}^K$ vers l'ensemble $\mathbb{F}_2^N = \{0, 1\}^N$ qui associe à tout bloc de données \mathbf{u} un mot de code \mathbf{c} .

$$\begin{aligned} g : \mathbb{F}_2^K &\rightarrow \mathbb{F}_2^N \\ \mathbf{u} &\mapsto \mathbf{c} = g(\mathbf{u}) \end{aligned} \quad (1)$$

- # mots de code : 2^K .
- Rendement : $R = K/N$ (K symb. d'inf., N symb. codés).
- $\mathcal{C}(N, K)$ est dit linéaire si $g(.)$ est une application linéaire (les mots de codes sont un sous-espace vectoriel de \mathbb{F}_2^N).

Codes en bloc linéaires

Matrice génératrice

Matrice génératrice

- On note $\mathbf{c} = [c_0, \dots, c_{N-1}]$ et $\mathbf{u} = [u_0, \dots, u_{K-1}]$
- la matrice génératrice \mathbf{G} de dimensions $K \times N$ est définie comme étant l'application linéaire définie comme

$$\mathbf{c} = \mathbf{u}\mathbf{G}$$

- Espace du code : $\text{Im}(\mathcal{C}) = \{\mathbf{c} \in \mathbb{F}_2^N \mid \mathbf{c} = \mathbf{u}\mathbf{G}, \forall \mathbf{u} \in \mathbb{F}_2^K\}$
- $\text{rang}(\mathbf{G}) = K$ (les lignes de \mathbf{G} sont K mots de codes indépendants) et \mathbf{G} non unique.
- \mathbf{G} est dite systématique si $\forall k \in [0, K-1], \exists n \in [0, N-1]$ tel que $c[n] = u[k]$. \mathbf{G} peut alors se mettre sous la forme

$$\mathbf{G} = [P \mid I_K]$$

Codes en bloc linéaires

Matrice de parité

Matrice de parité

- Le code $\mathcal{C}^\perp(N - K, K)$, dit code dual, vérifie que tout mot du code dual est orthogonal à tout mot du code $\mathcal{C}(N, K)$. On note sa matrice génératrice \mathbf{H} .
- On a alors $\{\mathbf{c} \in \mathcal{C}(N, K) | \mathbf{c}\mathbf{H}^\top = \mathbf{0}\}$
- Relation avec \mathbf{G} : $\mathbf{G}\mathbf{H}^\top = \mathbf{0}$
- Pour un code systématique, $\mathbf{H} = [I_{N-K} | P^\top]$.
- Détection d'erreur à l'aide du *syndrome* : $\mathbf{r} = \mathbf{c} + \mathbf{e}$

$$\mathbf{s} = \mathbf{r}\mathbf{H}^\top = \mathbf{e}\mathbf{H}^\top$$

- Si \mathbf{e} est un mot de code, alors on parle d'erreurs *non détectable*.

Codes en bloc linéaires

Distance minimum et spectre de distance du code

Matrice de parité

- Distance de Hamming : $d_H(c_i, c_j) = \mathbf{w}(c_i \oplus c_j)$
- Distance minimale :

$$\begin{aligned} d_{\min} &= \min \{d_H(c_i, c_j) | c_i, c_j \in \mathcal{C}(N, K); c_i \neq c_j\} \\ &= \min \{\mathbf{w}(c) | c \in \mathcal{C}(N, K), c \neq 0\} \end{aligned} \quad (2)$$

- Spectre de distance d'un code :

$$\forall i = 1 \dots N, A_i = \#\mathbf{c} \in \mathcal{C}(N, K), \mathbf{w}(c) = i$$

$\{A_0, A_1 \dots A_N\}$ est appelé spectre de distance du code

- d_{\min} est égale au plus petit nombre de colonnes dont la somme est le vecteur nul.
- $d_{\min} - 1$ erreurs détectables, $\lfloor (d_{\min} - 1)/2 \rfloor$ erreurs corrigibles sur BSC.



Quelques codes particuliers

- Un **code de répétition** consiste en la répétition de N fois un bit d'information.

$$G_1 = [\underbrace{1 \dots 1}_{N} \dots 1]$$

- Un **code de vérification de parité** est construit tel que $c_{N-1} = u_0 \oplus u_1 \oplus \dots \oplus u_{N-2}$ définissant un code $\mathcal{C}(N, N-1)$.

$$G_2 = \begin{pmatrix} & & & 1 \\ & & \vdots & \\ & & 1 & \\ I_{N-1} & & \vdots & \\ & & 1 & \end{pmatrix}$$

On peut alors remarquer que les deux codes précédents sont duaux, ie.

$$G_1 G_2^T = \mathbf{0}$$

Critères de décodage

Décodage par Maximum a Posteriori (MAP) séquence

$$\hat{\mathbf{c}} = \arg \max_{\mathbf{c}'} p(\mathbf{c}' | \mathbf{y}) \quad (3)$$

$$= \arg \max_{\mathbf{c}'} \frac{p(\mathbf{y} | \mathbf{c}') p(\mathbf{c}')}{p(\mathbf{y})} \quad (4)$$

Décodage par Maximum de Vraisemblance (ML) séquence

$$\hat{\mathbf{c}} = \arg \max_{\mathbf{c}'} p(\mathbf{y} | \mathbf{c}') \quad (5)$$

Exemple de canaux

- canal BSC : $\hat{\mathbf{c}} = \arg \min_{\mathbf{c}'} d_H(\mathbf{y}, \mathbf{c}')$
- canal BI-AWGN : $\hat{\mathbf{c}} = \arg \min_{\mathbf{c}'} d_E(\mathbf{y}, \mathbf{c}') = \arg \min_{\mathbf{c}'} \sum_n (y_n - c'_n)^2$

Plan

- 1 Rappel sur le codage de canal
 - Quelques définitions
- 2 Notion de décodage souple et utilisation de LLR
 - Décodage souple
- 3 Modulations codées à bits entrelacés

Décodage "souple"

Utilisation de log-likelihood ratios (LLR)

- LLR associé à

$$l(c_n) \triangleq \log \left(\frac{P(c[n] = 0 | y[n])}{P(c[n] = 1 | y[n])} \right)$$

- LLR en fonction des probabilités de transitions et a priori :

$$l(c_n) = \log \left(\frac{P(y[n] | c[n] = 0)}{P(y[n] | c[n] = 1)} \right) + \log \left(\frac{P(c[n] = 0)}{P(c[n] = 1)} \right)$$

- Lien avec critère MAP bit classique en BPSK

$$\begin{aligned} \hat{c}_n &= \arg \max_{c_n} p(c[n] | y[n]) \\ &= \text{signe}(L(c_n)) \end{aligned} \tag{6}$$

Décodage "souple"

Utilisation de log-likelihood ratios (LLR)

Passage LLR vers probabilités

$$p(u_n = 0|y_n) + p(u_n = 1|y_n) = 1 \quad (7)$$

$$L(u_n) = \log \left(\frac{p(u_n = 0|y_n)}{p(u_n = 1|y_n)} \right) \quad (8)$$



$$p(u_n = 0|y_n) = \frac{e^{L(u_n)}}{1 + e^{L(u_n)}} \quad (9)$$

$$p(u_n = 1|y_n) = \frac{1}{1 + e^{L(u_n)}} \quad (10)$$

Décodage "souple"

Utilisation de log-likelihood ratios (LLR)

Passage LLR vers probabilité : expressions génériques

$$p(u_n|y_n) = \frac{e^{(1-u_n)L(u_n)}}{1 + e^{L(u_n)}}$$

$$p(u_n|y_n) = \frac{e^{x_n \frac{L(u_n)}{2}}}{e^{-\frac{L(u_n)}{2}} + e^{+\frac{L(u_n)}{2}}}$$

Décodage "souple"

Utilisation de log-likelihood ratios (LLR)

Lien avec l'estimation - "soft bit"

$$\hat{x}_n = \mathbb{E}(X_n | Y_n = y_n) = \tanh \left(\frac{L(u_n)}{2} \right)$$

\hat{x}_n est la meilleure estimée non linéaire au sens du MMSE, ie.

$$\hat{x}(n) = \arg \min_{x \in \mathbb{R}} \mathbb{E}(|x(n) - \hat{x}(n)|^2)$$

Expression de la capacité BPSK

$$I(X; Y) = \frac{1}{2} \sum_{x=\pm 1} \int_{\mathbb{R}} f(y | x) \log_2 \left(\frac{2f(y | x)}{f(y | x = +1) + f(y | x = -1)} \right) dy$$

mais plus utile :

$$I(X; Y) = H(X) - H(X | Y) = 1 + \mathbb{E}_{X,Y} (\log_2(p(X | Y)))$$

Si $L(y) = \log \left(\frac{p(x=+1|Y=y)}{p(x=-1|Y=y)} \right)$, $p(x | y) = \frac{1}{1 + e^{-xL(y)}}$

d'où

$$\begin{aligned} \hat{I}(X; Y) &= 1 + \frac{1}{N} \sum_{n=0}^{N-1} \log_2(p(x[n] | y[n])) \\ &= 1 - \frac{1}{N} \sum_{n=0}^{N-1} \log_2 \left(1 + e^{-x[n]L(y[n])} \right) \end{aligned} \quad (11)$$



Décodage par Maximum de Vraisemblance révisité

BI-AWGN sans a priori : décodeur par corrélation

$$\begin{aligned}\hat{\mathbf{c}} &= \arg \min_{\mathbf{c}'} \sum_n (y_n - x'_n)^2 \\ &= \arg \max_{\mathbf{c}'} \sum_n l(c'_n) x'_n\end{aligned}\quad (12)$$

où

$$l(c'_n) = \frac{2}{\sigma^2} y[n]$$

Cas général : canal sans mémoire, $P(y_n|c_n)$, $c_n = 0, 1$

$$\hat{\mathbf{c}} = \arg \max_{\mathbf{c}'} \sum_n l(c'_n) \tilde{c}'_n\quad (13)$$

où

$$\tilde{c}'_n = (1 - 2c'_n)$$

Décodage MAP par bit

Décodage par MAP Bit

$$\hat{c}_n = \arg \max_{c'_n} p(c'_n | \mathbf{y}) \quad (14)$$

$$= \arg \max_{c'_n} \sum_{\mathbf{c} \in \mathcal{C} | c_n = c'_n} p(\mathbf{y} | \mathbf{c}) p(\mathbf{c}) \quad (15)$$

$$= \arg \max_{c'_n} \sum_{\mathbf{c} \in \mathcal{C} | c_n = c'_n} p(\mathbf{y} | \mathbf{c}) \quad (16)$$

$$= \arg \max_{c_n} \sum_{\substack{\mathbf{c} \in \mathcal{C} \\ c_n = c_n}} p(\mathbf{y} | \mathbf{c}) \mathbb{1}_{\{\mathbf{c} \in \mathcal{C}\}}. \quad (17)$$

Démodulation MAP symbole et bit

Hypothèses

- Les vecteurs binaires $x[n] = [x_1[n] \cdots x_m[n]]$ sont “mappés” sur des symboles $s[n] \in \mathcal{S}$,
- Canal sans mémoire à entrées M -aires équi-distribués.

Vraisemblance Symbole et critère MAP associé

- **Symbol Likelihood** : $P(y[n]|s[n])$,
- **MAP Symbole** :

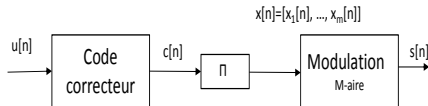
$$\hat{s}_n = \arg \max_{s_n} p(y[n]|s[n])$$

MAP bit

$$L(x_i[n]) = \log \left(\frac{\sum_{s[n] \in \mathcal{S}_0^i} P(y[n]|s[n])P(s[n])}{\sum_{s[n] \in \mathcal{S}_1^i} P(y[n]|s[n])P(s[n])} \right)$$



Modulations codées à bits entrelacés



Bit-Interleaved Coded Modulation

- système de transmission à haute efficacité spectrale : constellation M -aire \mathcal{S} avec $M = 2^m$.
- Peut-être vu comme $\log_2(M)$ canaux parallèles,
- Capacité atteignable dépend du mapping utilisé :

$$C_{\text{bicm}} = m - \frac{1}{2} \sum_{k=0}^{m-1} \sum_{c=0}^1 \mathbb{E} \left(\log_2 \left(\frac{\sum_{s_i \in \mathcal{S}} p(y|s_i)}{\sum_{s_j \in \mathcal{S}_c^k} p(y|s_j)} \right) \right)$$



Modulations codées à bits entrelacés

Bit-Interleaved Coded Modulation

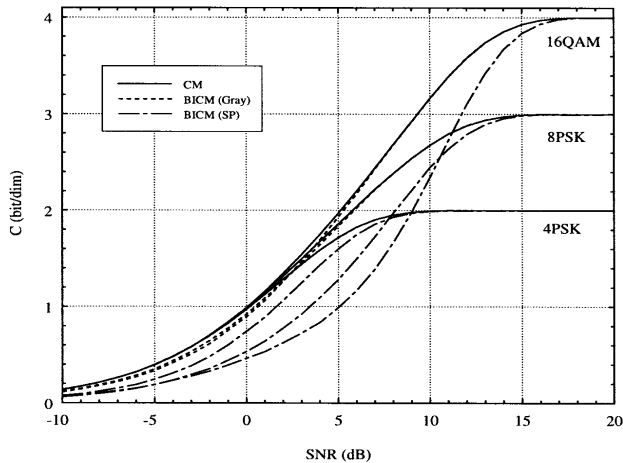
- Peut-être vu comme $\log_2(M)$ canaux parallèles,
- Capacité atteignable dépend du mapping utilisé :

$$C_{\text{bicm}} = \sum_{k=1}^m \mathbf{I}(X_k; Y) \leq C_{\text{AWGN}},$$

où $\mathbf{I}(X_k; Y) = 1 - \mathbb{E}_{X_k, Y}(\log_2(1 + e^{-(1-2X_k)L(X_k)}))$. $L(X_k)$ est une fonction implicite de Y .

⇒ en général pour les modulations linéaires, le mapping de Gray permet d'être quasi optimal pour les efficacités moyennes à grandes.

Modulations codées à bits entrelacés



Modulations codées à bits entrelacés

